

西日本工業大学 正員。赤司 信義
山口大学工学部 正員 斎藤 隆

壁面噴流乱流境界層内の速度分布は通常の乱流境界層の速度分布よりも一様な分布をもち、その拡張則が壁面噴流境界層には適用できない事とされている。この事は壁面噴流境界層内の湍動粘性係数とが開水路流れ等で与えられるものよりも大きい事を意味する。つまり壁面噴流境界層外の主流部流れの乱れが大きいため、主流部の乱れが境界層へ拡散していると考えられる。図2に $d/B_0 = 0.11$ の下で $x/B_0 = 40$ の位置の実測した速度分布からその値を直接的に求めた値を示した。主流部の乱れを較べて Prandtl-Karman の式で規定されるとの値はかなり小さい事が分かる。そこで主流部のとの値を一定とし、境界層外端 ($y/\delta_B = 1$ 、図2では $\delta_B(\delta_B + \delta_0) = 0.25$) で境界層内のとが主流部のとの値と一致するようにし、主流部の乱れの影響を規定するパラメータ E ($E = 1 - u_{\tau} k_B / u_{\tau} k_s \delta_B$, $k_B = E_0 / u_{\tau} \delta_B$) を導入して、図2中の実線の様に2次曲線分布を仮定した。そして E を含み、かつ Prandtl-Karman の式を包含する速度分布則を説明した。本報告は y/δ_B 提示した速度分布則に対して E の値による速度分布の変化を調べたものである。

又、2より假定した境界層内のとの分布は測定値と較べて大きいため、図2中の $\beta = 0.3$, $\beta = 0.8$ の実線を示すが、3次曲線分布とがもつとして速度分布を検討したものである。[I]: との分布を2次曲線で假定した時の速度分布について; 境界層内のとの分布を $E = k u_{\tau} \delta_B / (1 - E)$ で假定して説明された速度分布に $d/B_0 = 0.11$, $k_s/\delta_B = 0.1$ で $E = 1, -1$ について $U_{\tau} k_s / \nu$ を 5, 10, 50, 100, 500 と変化させた時の変化をみたものが図3である。

$U_{\tau} k_s / \nu$ が大きいほど乱流底層の厚さ ($u_{\tau} \delta_B \sim U_{\tau} k_s$) が広がるが、外端 ($u_{\tau} \delta_B \sim U_{\tau} k_s$) の速度分布は相似な形状をしている。図4は $d/B_0 = 0.11$, $k_s/\delta_B = 0.1$, $U_{\tau} k_s / \nu = 100$ の条件で E を $1, -1, -10, -100$ として速度分布の変化をみたものである。 $E = 1$ の時外端の速度分布は Prandtl-Karman の式に一致する。この図より主流部の乱れが大きい程速度勾配はゆるくなる、といふ事が分かる。図中の○印が算出した速度分布を運動量方程式に代入して境界層発達の計算を行った時に得られた値つまり $x/B_0 = 40$

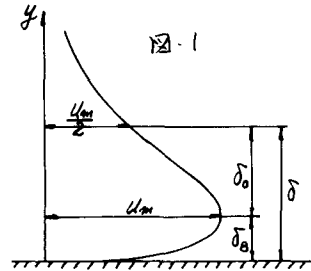


図-1

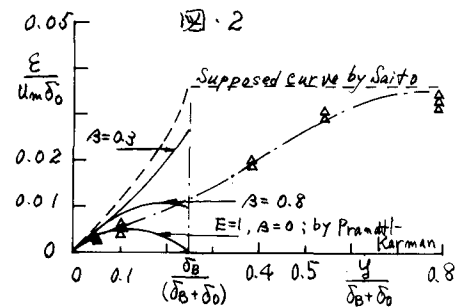
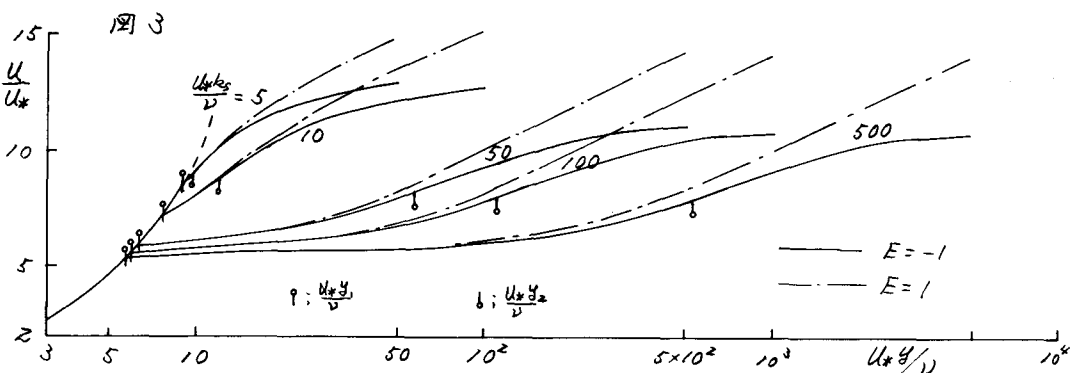


図-2



$\frac{U}{U_*} = 9.253$, $\frac{U_* k_s}{D} = 10.21$, $\frac{U_m}{U_*} = 10.04$, $E = -1.72$ の値をもって実測の速度分布を表わしたものである。実線は実用式による、一実験線は厳密式による計算結果である。境界層発達の計算において運動量方程式と

使って厳密式、実用式と用いて行なった結果ほとんど差異がみられないが、たしかにこの図よりうかがえる。すなはて境界層全体を問題とするような場合、粘性底層及び乱流底層を省略しても、その流速が小さいため結果にはほとんど差異を生じないと考えられる。又 $E = 1$ として得られる抵抗則を

使用すると外流の主流部との接続付近の U/U_* を大きくみつめるため、境界層発達を計算すると δ_B の計算値が実験値を大きく上回る事になるものと考えられる。さらに図5は U/U_m と y/δ_B について $k/B_0 = 0.35$ の時の境界層速度分布をみたもので、一実験線は粘性底層及び乱流底層を考慮した厳密式を使、又 $x/B_0 = 10, 40$ について、実線は粘性底層、乱流底層を無視して便宜的壁面位置を導入して実用式を使して計算したものである。厳密式による計算結果によると壁面噴流境界層速度分布は一様化しているといふべき十分に説明される。
[II]： ε の分布を3次曲線で仮定した時の速度分布について；壁面噴流境界層内の ε は $\varepsilon = K U_* \delta_B \{1 - E\eta - \beta(1-E)\eta^2\}$ ……(1) と仮定し、粘性底層、乱流底層を考慮して速度分布則を誘導すると次式を得られた。

$$\frac{U}{U_*} = \frac{1}{K} \left[R_p(\eta - \eta_1) + \frac{R_p(\eta_1 - \eta_2)}{1 - E(\eta_2 - \eta_1) - \beta(1-E)(\eta_2 - \eta_1)^2} \right], \quad \text{外流: } \frac{U}{U_*} = \frac{1}{K} \left[R_p(\eta_1 + 1 + R_p(\eta_1 - \eta_2) \{1 - E(\eta_2 - \eta_1) - \beta(1-E)(\eta_2 - \eta_1)^2\} + \right. \\ \left. \pm \sqrt{[(\eta_1 - \eta_2)^2 + [B(1-E)(\eta_2 - \eta_1)^2 - E(\eta_2 - \eta_1)^2 + 1] + \frac{E(1-E)}{(E-2)}] \cdot [2\beta(1-E)(\eta_2 - \eta_1) + E + \frac{E^2 + 4\beta(1-E)}{2\beta(1-E)(\eta_2 - \eta_1) + E - \sqrt{E^2 + 4\beta(1-E)}}]} \right] \quad (2)$$

$R_p = K \frac{U_* \delta_B}{D}$ 。
 $k/B_0 = 0.11$ で $x/B_0 = 40$ の地図で $\alpha_0 = 0.0358$, $E = -1.5$, $\frac{U_* k_s}{D} = 100$, $\frac{k_s}{\delta_B} = 0.1$ とし $\beta = 0, 0.3, 0.8$ として速度分布を計算すると図6の様に得られた。この時の ε の分布は図2に示されている。 $\beta = 0$ の時は(1)で述べた速度分布と同一である。実線は E の値だけ変えて $E = 1$ とした時の分布である。又実線は(2)式を基に便宜的壁面位置を導入して実用式による速度分布と示したものである。図より境界層内の ε の値を実測した値と比べても速度分布は $E = 1$ とする時差異はみられない。なおこの実用式を使って境界層の発達を計算してみたが、その結果はモード2次曲線で仮定した[II]の計算結果とほとんど差異はない。

(参考文献)⁽¹⁾ 清藤隆
；水理学研究会論文集；(2) 有藤隆；三次元乱流壁面噴流に関する研究；土木学会論文集；Vol.264, 77, 8

